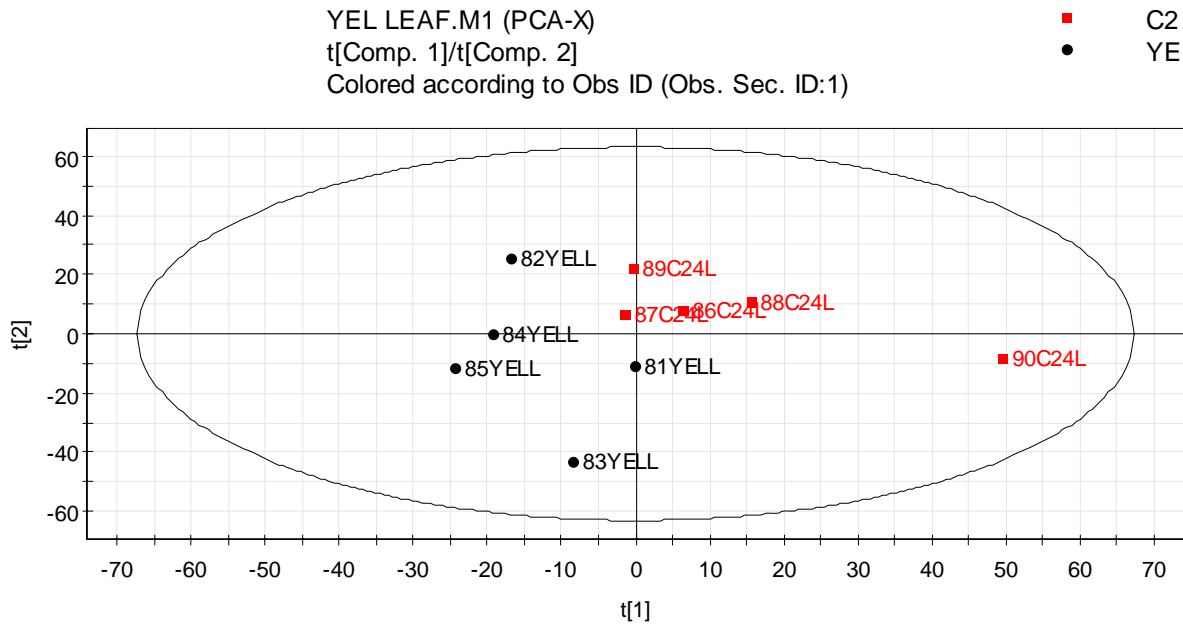


PCA analysis of J1511RNAiC S-1 (yellow) transformant plant tissues (vascular bundle, petiole minus bundle and leaf. MS Pos. C24 wild-type.

J1511RNAiC S-1 (yellow) leaf tissue



R2X[1] = 0.188145 R2X[2] = 0.164632
Ellipse: Hotelling T2 (0.95) SIMCA-P 11 - 31/10/2007 10:31:30

YELLOW LEAF VS C24 POS

2.08E-

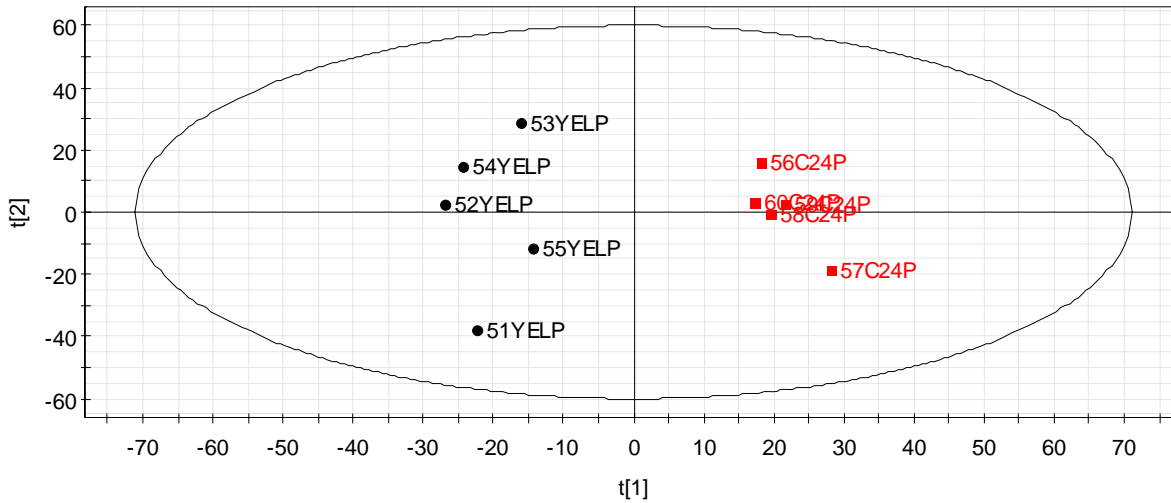
Bonferroni 05

	t-test	Avg YEL	Avg C24	SE YEL	SE C24	fold change	log fold change	abs change	avg inten
64	5.249E-08	0.3266	0.1278	0.005622989	0.003044175	2.555555556	0.407485327	0.407485327	0.2272
516	0.0004495	0.1715	0.09618	0.009814122	0.008638078	1.783114993	0.251179352	0.251179352	0.13384
335	0.000873	0.30282	0.13452	0.022296309	0.007777107	2.251115076	0.352397696	0.352397696	0.21867
307	0.0009908	0.14284	0.26984	0.007086085	0.017825392	0.529350726	-0.276256487	0.276256487	0.20634
263	0.00331	0.45976	0.86758	0.050280022	0.077746211	0.529933839	-0.275778348	0.275778348	0.66367
381	0.0037297	0.6208	1.35918	0.043111117	0.134079881	0.456745979	-0.340325267	0.340325267	0.98999
382	0.0051503	0.09272	0.19066	0.006581596	0.019351088	0.48631071	-0.313086166	0.313086166	0.14169
383	0.0066783	0.0821	0.16558	0.005936666	0.017554811	0.49583283	-0.304664721	0.304664721	0.12384
428	0.0083189	0.08416	0.13606	0.006036936	0.011916149	0.618550639	-0.20862474	0.20862474	0.11011
277	0.0103652	0.46022	0.8315	0.048821075	0.089729103	0.55348166	-0.256896765	0.256896765	0.64586
141.8	0.0149635	0.07928	0.14712	0.006559832	0.017623008	0.538879826	-0.268508075	0.268508075	0.1132
139.8	0.0160127	0.37008	0.8149	0.043655279	0.11759611	0.454141612	-0.342808702	0.342808702	0.59249
203	0.0362061	0.31262	0.17244	0.012959606	0.046205775	1.812920436	0.258378745	0.258378745	0.24253

J1511RNAiC S-1 (yellow) petiole tissue

YEL PETIOLE.M1 (PCA-X)
 t[Comp. 1]/t[Comp. 2]
 Colored according to Obs ID (C2)

■ C2
 ● YE



R2X[1] = 0.207976

R2X[2] = 0.147952

Ellipse: Hotelling T2 (0.95)

SIMCA-P 11 - 31/10/2007 10:29:06

YELLOW PET VS C24 POS

Bonferoni 2.06016E-05

	t-test	Avg YEL	Avg C24	SE YEL	SE C24	fold change	log fold change	abs change	avg inten
105	1.39346E-08	0.377	0.21094	0.005281572	0.004476226	1.787238077	0.252182409	0.252182409	0.29397
64	2.39743E-07	0.56014	0.17834	0.015565558	0.009734814	3.140854547	0.497047825	0.497047825	0.36924
131	9.00456E-05	0.11922	0.23166	0.006492719	0.011222237	0.514633515	-0.288501935	0.288501935	0.17544
108	0.000122295	0.22798	0.04038	0.0132324	0.001632605	5.645864289	0.751730435	0.751730435	0.13418
124	0.000153647	0.83966	0.40356	0.034565714	0.007008752	2.080632372	0.318195351	0.318195351	0.62161
196.8	0.000176025	0.30098	0.04422	0.021324924	0.004677328	6.806422433	0.8329189	0.8329189	0.1726
426	0.000211555	0.0776	0.17304	0.00791467	0.011354189	0.448451225	-0.348284785	0.348284785	0.12532
425	0.000265727	0.41452	0.95976	0.037542155	0.065314766	0.431899642	-0.364617156	0.364617156	0.68714
212.8	0.000270432	0.36478	0.20426	0.01956825	0.016520672	1.785861157	0.251847691	0.251847691	0.28452
434	0.000367257	0.20758	0.0724	0.014295188	0.004326893	2.867127072	0.457446941	0.457446941	0.13999
261	0.00045603	0.56374	0.27994	0.033302471	0.01243799	2.013788669	0.304013893	0.304013893	0.42184
240.8	0.000562458	0.46254	0.92382	0.031813701	0.06163879	0.500681951	-0.300438064	0.300438064	0.69318
242.8	0.000573732	0.10122	0.20564	0.007347748	0.014047833	0.492219413	-0.307841262	0.307841262	0.15343
413.2	0.000683482	0.19562	0.03794	0.016856969	0.001531209	5.156035846	0.712315928	0.712315928	0.11678
341.8	0.000754425	0.09342	0.31322	0.008803431	0.027619095	0.298256816	-0.525409622	0.525409622	0.20332
195	0.000778345	0.17874	0.1067	0.009707811	0.004013477	1.675164011	0.224057334	0.224057334	0.14272
247	0.001019003	0.4103	0.17626	0.031587798	0.010271251	2.327811188	0.366947751	0.366947751	0.29328
224.8	0.001045858	0.15008	0.07636	0.009840295	0.002944418	1.965426925	0.293456901	0.293456901	0.11322
146.6	0.001052247	0.08502	0.1789	0.006121062	0.013703722	0.475237563	-0.32308924	0.32308924	0.13196
232	0.001422297	0.21088	0.44908	0.011481655	0.034760529	0.469582257	-0.328288321	0.328288321	0.32998
554	0.001454893	0.33308	0.1527	0.026719326	0.009279062	2.181270465	0.338709519	0.338709519	0.24289
175	0.001949227	0.54778	3.60774	0.12295174	0.463107543	0.151834667	-0.81862906	0.81862906	2.07776
241	0.002135062	0.16924	0.09446	0.00407696	0.012023419	1.791657845	0.253255075	0.253255075	0.13185
176	0.002932353	0.0602	0.302	0.011575535	0.040752362	0.199337748	-0.700410452	0.700410452	0.1811
335	0.003772288	0.479	0.13452	0.057290505	0.00388721	3.560808802	0.551548655	0.551548655	0.30676

365	0.004603006	0.47458	0.2744	0.040251179	0.019606785	1.72951895	0.237925325	0.237925325	0.37449
270	0.006135441	0.0962	0.17008	0.001881755	0.014217925	0.565616181	-0.247478175	0.247478175	0.13314
130	0.007205641	0.50636	1.53114	0.037628162	0.208725338	0.330707839	-0.480555511	0.480555511	1.01875
213	0.008765539	0.07898	0.27676	0.007461327	0.042437891	0.285373609	-0.544586193	0.544586193	0.17787
147	0.008849823	0.5143	1.42832	0.033008514	0.196251442	0.360073373	-0.443608993	0.443608993	0.97131
171	0.011308817	0.1458	0.27826	0.008090674	0.031157673	0.523970387	-0.280693257	0.280693257	0.21203
114.8	0.030118972	0.1719	0.0983	0.02301619	0.00717168	1.748728383	0.242722359	0.242722359	0.1351
173	0.034052175	0.12964	0.08156	0.015376105	0.002777337	1.589504659	0.201261805	0.201261805	0.1056
112.8	0.03666689	0.31266	0.17292	0.046338867	0.01407151	1.808119362	0.257227097	0.257227097	0.24279
223	0.038791992	0.11448	0.302	0.014901188	0.062897146	0.379072848	-0.421277322	0.421277322	0.20824

J1511RNAiC S-1 (yellow) vascular tissue

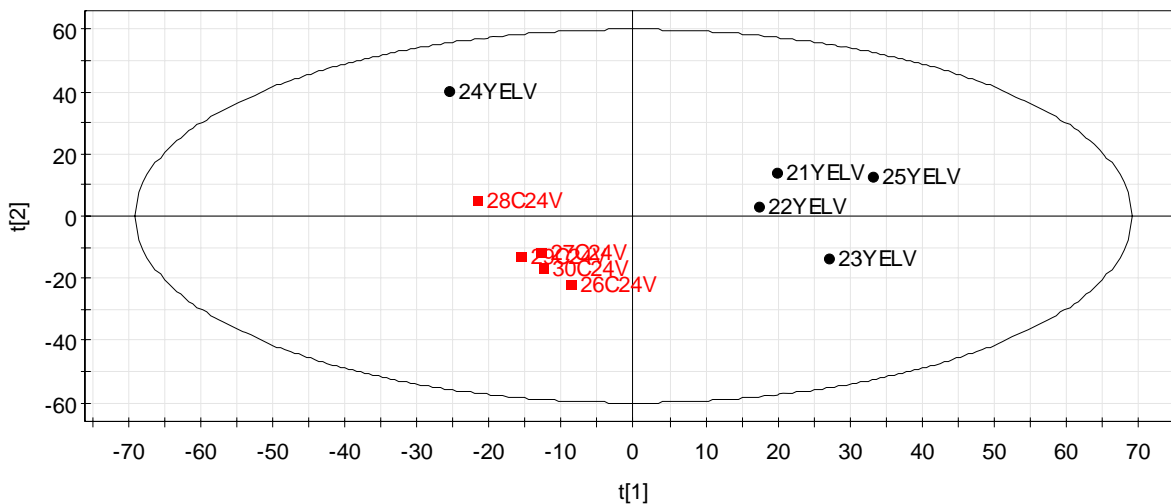
YELLOW VAS VS C24 POS

Bonferroni 2.03998E-05

	t-test	Avg YEL	Avg C24	SE YEL	SE C24	fold change	log fold change	abs change	avg inten
139.8	4.05413E-05	0.91806	1.67104	0.068053234	0.062964947	0.549394389	-0.26011578	0.26011578	1.29455
141.8	4.65461E-05	0.14418	0.25864	0.010364333	0.010030085	0.557454377	-0.25379067	0.25379067	0.20141
240.8	0.000111895	0.08644	0.2763	0.011160762	0.019568929	0.312848353	-0.504666127	0.504666127	0.18137
275.8	0.000235944	0.06168	0.1669	0.012494375	0.007568487	0.369562612	-0.432311972	0.432311972	0.11429
313.8	0.001495678	0.07014	0.14664	0.010200275	0.012268847	0.478314239	-0.32028669	0.32028669	0.10839
155	0.005936449	0.17518	0.10206	0.015636189	0.008402892	1.716441309	0.234628958	0.234628958	0.13862
143	0.012612619	0.64618	0.34598	0.075030117	0.030166644	1.867680213	0.271302518	0.271302518	0.49608
64	0.017819798	0.5224	0.22214	0.077529839	0.004564055	2.351670118	0.371376401	0.371376401	0.37227
413.2	0.018986397	0.15652	0.06422	0.025361928	0.008309416	2.437246964	0.386899538	0.386899538	0.11037
554	0.027230896	0.15332	0.07378	0.024360119	0.010019102	2.078069938	0.31766016	0.31766016	0.11355
152	0.027331894	0.23596	0.13616	0.029962119	0.006652037	1.732961222	0.238788845	0.238788845	0.18606
151	0.043652702	0.32484	0.19044	0.046946838	0.012523083	1.705734089	0.231911329	0.231911329	0.25764
208	0.043933683	0.19908	0.12506	0.025720525	0.004617857	1.5918759	0.201909208	0.201909208	0.16207
206	0.046252988	0.16522	0.09412	0.025104808	0.004113198	1.755418615	0.244380699	0.244380699	0.12967
198.8	0.048509656	0.15606	0.06408	0.032914641	0.004028076	2.435393258	0.3865691	0.3865691	0.11007

YELLOW VASC.M1 (PCA-X)
t[Comp. 1]/t[Comp. 2]
Colored according to Obs ID (C2)

■ C2
● YE



R2X[1] = 0.194301

R2X[2] = 0.146364

Ellipse: Hotelling T2 (0.95)

SIMCA-P 11 - 31/10/2007 10:33:22